

## セルラー・プロツクによる防波堤

# 正員 北海道土木部港湾課 石倉建治

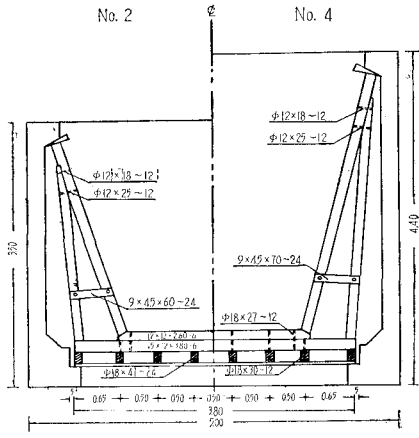
要旨

セルラーブロックは、直立堤として、強固な单塊的構造とはなり得ないとされているが、それは、主として大型のものは施工が困難なためであると思われる。ここに述べるもののは、底に仮蓋を取付けることにより、取扱いはケーソンとほとんど変らず、しかもでき上つた堤体はケーソン式に比較して底部のマサツが大きく、滑動に対する安定度が大きいので、防波堤および重力式岸壁などに応用して有利であると考える。

## I. 設計

## §1. 構造の概要

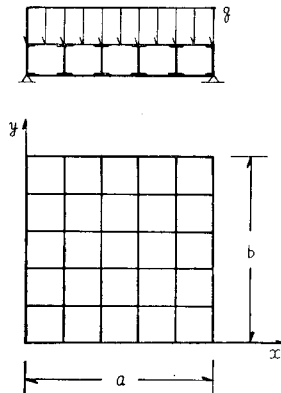
図-1 のように、セラーブロックの頭部と底部の断面を少し大きくし、頭部には底板にかかる水圧が支柱(方柱)を通じて伝達される。頭部がこのようにある程度の幅を有することは、作業がし易く、作業者に安心感を与え、色々の点で便利である。底部は底板の取付け、取はずしが楽なように頭部より少し大きくする。



— 1 —

## § 2. 底板と支柱 (方杖)

この部分は恰も木橋の方杖桁をさかさにしたようなものであるから、その計算方法を採用する。ただし、支柱の方法によつては、主桁を連續桁、支柱を単に圧縮材として計算することもある。木橋では、方杖桁はなるべくさけるべき工法とされているが<sup>2)</sup>、ここではこの方が施工上便利が多い。



— 2

底板の互いに直交する梁と桁は丁度格子桁となるから、能町、石倉<sup>5)</sup>の方法により、周辺単純支持、等布荷重の場合についてモーメントを計算すれば、

$$\left. \begin{aligned} M_x &= 4qb^2 \sum_{m=1,3,5,\dots} \frac{1}{\beta_m^3} \sin \beta_m \eta \cdot P_m(\xi) \\ M_y &= 4qb^2 \sum_{m=1,3,5,\dots} \frac{1}{\beta_m^3} \sin \beta_m \eta (1 - Q_m(\xi)) \end{aligned} \right\} \dots (1)$$

二三

$$\begin{aligned}\beta_m &= m\pi, \quad \xi = \frac{x}{a}, \quad \eta = \frac{y}{b} \\ P_m(\xi) &= \frac{\sinh \frac{\pi C_m}{\sqrt{2}} (1-\xi) \sin \frac{\pi C_m}{\sqrt{2}} \xi}{\cosh \frac{\pi C_m}{\sqrt{2}} + \cos \frac{\pi C_m}{\sqrt{2}}} \\ Q_m(\xi) &= \frac{\cosh \frac{\pi C_m}{\sqrt{2}} (1-\xi) \cos \frac{\pi C_m}{\sqrt{2}} \xi}{\cosh \frac{\pi C_m}{\sqrt{2}} + \cos \frac{\pi C_m}{\sqrt{2}}}\end{aligned}$$

ただし、 $\pi c_m = \frac{a}{b} \beta_m$

これにより、 $\frac{a}{b} = 1.0$  の場合、板の中央点におけるモーメントを計算すれば

底板を鋼製にするときは、(1)で板の中央点のモーメント

表—1 Constants  $\alpha, \beta_1, \beta_2, r$  for a Rectangular Plate with Two Edges Simply Supported and Two Edges Clamped (図-3)  $\nu = 0.3$

$b < a$				
$\frac{a}{b}$	$x = \frac{a}{2}, y = 0$ $w_{\max} = \alpha \frac{qb^4}{D}$	$x = \frac{a}{2}, y = 0$ $M_x = \beta_1 qb^2$	$x = \frac{a}{2}, y = 0$ $M_y = \beta_2 qb^2$	$x = \frac{a}{2}, y = \frac{b}{2}$ $M_y = rqb^2$
$\infty$	0.00260	0.0125	0.0417	-0.0833
2	0.00260	0.0142	0.0420	-0.0842
1.5	0.00247	0.0179	0.0406	-0.0822
1.4	0.00240	0.0192	0.0399	-0.0810
1.3	0.00234	0.0203	0.0388	-0.0794
1.2	0.00223	0.0215	0.0375	-0.0771
1.1	0.00209	0.0230	0.0355	-0.0739

$b > a$

$\frac{b}{a}$	$w_{\max} = \alpha \frac{qa^4}{D}$	$x = \frac{a}{2}, y = 0$ $M_x = \beta_1 qa^2$	$x = \frac{a}{2}, y = 0$ $M_y = \beta_2 qa^2$	$x = \frac{a}{2}, y = \frac{b}{2}$ $M_y = rq a^2$
	$\alpha$	$\beta_1$	$\beta_2$	$r$
1	0.00192	0.0244	0.0332	-0.0697
1.1	0.00251	0.0307	0.0371	-0.0787
1.2	0.00319	0.0376	0.0400	-0.0868
1.3	0.00388	0.0446	0.0426	-0.0938
1.4	0.00460	0.0514	0.0448	-0.0998
1.5	0.00531	0.0585	0.0460	-0.1049
1.6	0.00603	0.0650	0.0469	-0.1090
1.7	0.00668	0.0712	0.0475	-0.1122
1.8	0.00732	0.0768	0.0477	-0.1152
1.9	0.00790	0.0821	0.0476	-0.1174
2.0	0.00844	0.0869	0.0474	-0.1191
3.0	0.01168	0.1144	0.0419	-0.1246
$\infty$	0.01302	0.1250	0.0375	-0.1250

を求めるだけでよい。

### §3. 側壁

浮揚のときは、相対する鉛直二辺が固定、他の水平二辺は rib を有し自由な板に荷重がかかり、かつ一組の相対する側壁の頭部にはそれぞれ底部からの水圧によるモーメントがその rib に作用し、据付と同時にこのモーメントはなくなる。とすれば理論的ではあるが解法は困難である。そこで、頭部にかかるモーメントは偏心が小さいから、これを無視し、かつ rib の在存を考慮して自由端とせず、単純支持と仮定すれば、結局相対する二辺固定、他の二辺単純支持となる。この板に静水圧荷重または等布荷重がかかった時のモーメント係数は、表-1、2<sup>3)</sup>で与えられるが、酒井氏の紹介もある<sup>4)</sup>。ただし、両者は同一のものと思われる。筆者が始めて音調津漁港のセルラーブロックを設計したときは(1954)、酒井氏の方を用いた。

### §4. 傾心

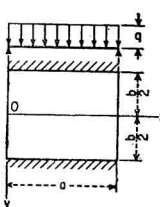


図-3

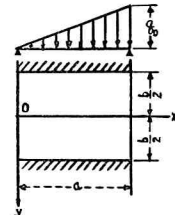


図-4

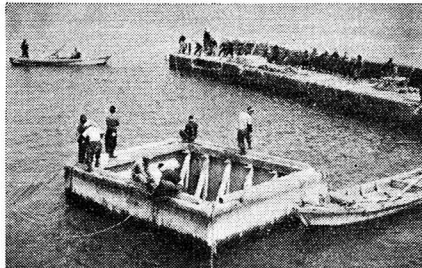


写真-1

表-2 Bending Moments in Rectangular Plates with Hydrostatic Load, Two Edges Simply Supported and Two Edges Clamped (図-4)  $\nu = 0.3$

$\frac{b}{a}$	$x = \frac{a}{2}, y = 0$		$x = \frac{3a}{4}, y = 0$		$x = \frac{a}{2}, y = \frac{b}{2}$	$x = \frac{3a}{4}, y = \frac{b}{2}$
	$M_x$	$M_y$	$M_x$	$M_y$	$M_y$	$M_y$
0.50	$0.007q_0 b^2$	$0.021q_0 b^2$	$0.018q_0 b^2$	$0.029q_0 b^2$	$-0.042q_0 b^2$	$-0.062q_0 b^2$
0.75	$0.011q_0 b^2$	$0.020q_0 b^2$	$0.018q_0 b^2$	$0.021q_0 b^2$	$-0.040q_0 b^2$	$-0.045q_0 b^2$
1.00	$0.013q_0 a^2$	$0.017q_0 a^2$	$0.017q_0 a^2$	$0.015q_0 a^2$	$-0.035q_0 a^2$	$-0.035q_0 a^2$
1.25	$0.021q_0 a^2$	$0.021q_0 a^2$	$0.024q_0 a^2$	$0.019q_0 a^2$	$-0.045q_0 a^2$	$-0.043q_0 a^2$
1.50	$0.030q_0 a^2$	$0.023q_0 a^2$	$0.031q_0 a^2$	$0.020q_0 a^2$	$-0.051q_0 a^2$	$-0.048q_0 a^2$
2	$0.043q_0 a^2$	$0.024q_0 a^2$	$0.042q_0 a^2$	$0.020q_0 a^2$	$-0.060q_0 a^2$	$-0.053q_0 a^2$
$\infty$	$0.063q_0 a^2$	$0.019q_0 a^2$	$0.055q_0 a^2$	$0.017q_0 a^2$	$-0.063q_0 a^2$	$-0.055q_0 a^2$

表 - 3

No.	形 状 尺 法			吃 水	$\frac{D}{H}$	$H' > 0$ のとき $\frac{H}{B} < C$	$H' > 0.05D$ $\frac{H}{B} < C$	実際の $\frac{H}{B}$	備 考
	B	L	H						
1	5	6	3	1.87	0.624	1.068	0.953	0.600	
2	5	6	3.5	2.08	0.595	1.005	0.914	0.700	
3	5	6	4	2.28	0.572	0.972	0.894	0.800	
4	5	6	4.4	2.45	0.557	0.948	0.877	0.880	設計のみ、製作せず 浮揚時の安定悪、施工 し難し

一般に浮心は重心の下にあるから、傾心は重心の上になければならない。そして、重心と傾心の間隔を  $H'$  とし、セルラーブロックの吃水を  $D$ 、幅を  $B$ 、高さを  $H$  とすれば、浮揚時の安定条件から与えられた  $D/H$  に対する  $H/B$  の限界が求まる。いま、2, 3 の実例について計算すれば、表-3 のとおりである。

### §5. 動揺の周期

周期  $T$  は次式で与えられる。

$$T = \frac{2\pi r}{\sqrt{gH'}} \quad \dots \dots \dots (3)$$

ここに

$$T = \text{周 期}$$

$$r = \text{廻転半径} = \frac{B}{\sqrt{12}}$$

$$H' = \text{傾心と重心間の距離}$$

$$g = \text{重力の加速度} = 9.8 \text{ m/sec}^2$$

さきの実例について、これを計算すれば、表-4 を得る。

表 - 4

No.	$H$	$\frac{H}{B}$	$T$ (sec)
1	3.0	0.6	3.3
2	3.5	0.7	4.0
3	4.0	0.8	5.9
4	4.4	0.88	8.5

No. 1 は、セルラーブロックを所定の位置に曳航すると、写真-1 のように数人の人夫が調子を合せて引つ張つたが、その途中でセルラーブロックは大きく動搖し始め、3 回ばかり海底の岩盤にぶつかり、方枝はその度にキシム音を立てた。これはわずかなうねりのせいがあつたかも知れないが、人夫のロープを引つ張る周期がおおむね 3, 4 秒で丁度その固有振動の周期に接近したためと思われる。

### §6. 偏心荷重による傾き

図-5 で

$$W = \text{セルラーブロックの重量}$$

$$B = \text{幅}$$

$$L = \text{長}$$

$$H = \text{高}$$

$$D = \text{吃水}$$

$$a = \text{重心}$$

$$\text{から底辺までの距離}$$

$$x, y = \text{偏心荷重の座標}$$

$$\rho = \text{海水の単位重量}$$

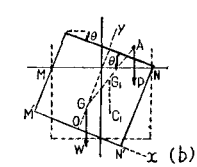
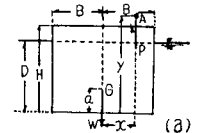
$$P = \text{偏心荷重}$$

$\theta$  = 偏心荷重によるセルラーブロックの傾くすれば、次式が導かれる。

$$-\tan^3 \theta + \tan \theta \left\{ 2 - \frac{24(W \cdot a + P_y)}{\rho B^3 L} + \frac{12(W + P)^2}{\rho^2 B^4 L^2} \right\} = \frac{24 P_x}{\rho B^3 L} \quad \text{(4)}$$

表 - 5

	$\frac{D}{H}$	0.6		0.7		0.8	
		$\frac{H}{B}$	$\tan \theta$	$\theta$	$\tan \theta$	$\theta$	$\tan \theta$
$\frac{W}{100}$	0.9	—	—	0.057	$3^\circ 15'$	0.031	$1^\circ 45'$
	0.8	0.123	$7^\circ 0'$	0.0457	$2^\circ 35'$	0.0293	$1^\circ 40'$
	0.7	0.0608	$3^\circ 30'$	0.0369	$2^\circ 05'$	0.0271	$1^\circ 35'$
	0.6	0.038	$2^\circ 10'$	0.0296	$1^\circ 40'$	0.0245	$1^\circ 25'$
	0.5	0.0257	$1^\circ 30'$	0.0234	$1^\circ 20'$	0.0214	$1^\circ 15'$
$\frac{W}{200}$	0.9	0.328	$18^\circ 10'$	0.0278	$1^\circ 35'$	0.0153	$0^\circ 55'$
	0.8	0.0563	$3^\circ 15'$	0.0225	$1^\circ 20'$	0.0145	$0^\circ 50'$
	0.7	0.0297	$1^\circ 40'$	0.0182	$1^\circ 05'$	0.0135	$0^\circ 45'$
	0.6	0.0187	$1^\circ 05'$	0.0147	$0^\circ 50'$	0.0122	$0^\circ 42'$
	0.5	0.0127	$0^\circ 45'$	0.0117	$0^\circ 40'$	0.0107	$0^\circ 37'$



$\tan \theta$  が正の実数根を有するためには(4)式左辺第2項括弧内は少なくも正でなければならない。すなわち

$$1 - \frac{12(W \cdot a + Py)}{\rho B^3 L} + \frac{6(W + P)^2}{\rho^2 B^4 L^2} > 0 \quad \dots\dots\dots (5)$$

一般に  $a < 0.46 H$  であるから、 $a = 0.46 H$  とし、かつ簡単のために  $y = 1.2 H$ ,  $x = B/2$  とすれば、吃水、すなわち実際的な  $D/H$  の値に対し、 $P$  を与えれば  $\theta$  と  $H/B$  の関係が求められる。いま、 $D/H = 0.6 \sim 0.8$  の各値に対し、 $P = W/100$ ,  $P = W/200$  としたときの関係を求めれば、表-5、および図-6 が得られる。

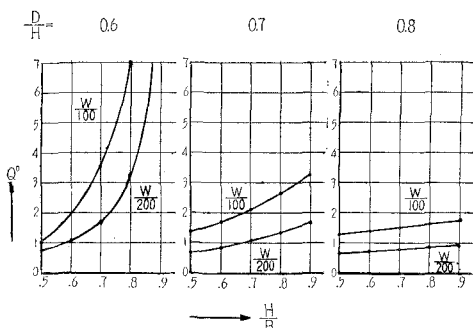


図-6

## §7. 適当な $H/B$ の値

表-3より、 $D/H$  は  $H/B$  にさほど大きな影響は与えないが、概ね 0.87 以下にすれば安全である。

表-4より、 $T$  は特に  $H/B$  を決定づける要素とはならない。

表-5、および図-6より、 $D/H = 0.6$  の場合を除いては  $H/B = 0.9$  でもなおかつ安全である。しかし、セルラーブロックとしては、 $D/H$  が 0.7 以上になるのはむしろ特殊の場合で、一般には 0.6 前後である。従つて、 $H/B$  の適当な値としては、 $H/B < 0.8 \sim 0.85$  である。実際そうした方が施工もし易く、かつ経済的なようである。しかし、何かの都合で  $H/B$  の値を大きくとらざるを得ないときは、あらかじめその安全性と施工について充分検討しておかなければならぬ。

## §8. 堤体の底面におけるマサツ係数と浮力

セルラーブロックを捨石上に据付けた場合のマサツについては、単純に従来どおりの凹凸説 (roughness theory) で実際上少しも矛盾を生じないから、底面の捨石に接する部分は、コンクリートと栗石で両者の面積はほぼ等しいとして、その平均をとり 0.7 として充分であろう。

ところが、これを岩盤上に据付け、中詰を水中またはブリパクトコンクリートで施工した場合には事情が異なる。これは我々が従来から非常に数多く施工してきた水中コンクリートと全く同様であるが、この場合堤体の断面を決定する基礎となるマサツ係数 (仮にこう呼ぶ) については明確

な指針がないようである。

セルラーブロックを岩盤上に据付け、前述のように施工したとき、堤体の外力に抵抗する力は、いわゆるマサツ力とするよりはセン断力とみる方がより合理的と思われる。しかし、これもはつきりと解明されている訳ではない。そこで、結局単純に、マサツの主原因は二面の凝着部をセン断するために生ずる、とする凝着説 (adhesion theory) になろうこととすれば、<sup>9)</sup> マサツ係数  $f$  は少なくとも 1.0 よりは大きくとつてよい。なぜならば、栗石と栗石のマサツ係数が 1.0 以上になることが実験的に確かめられているからである。<sup>10)</sup>

次に、堤体がこのように岩盤に密着しているとき、堤体には浮力が妨かない。従つて、結果的には劣せずして水中の見かけの比重を倍加させることになり、防波堤のように強大な外力に抵抗する水中構造物としては極めて有利なことである。

すなわち、構造物を岩盤に密着せしめる。ということは、それを経済的な断面にもたらす二大要素、「マサツ係数の増加と比重の増大」を同時に満足せしめるものである。従来、岩盤上に水中コンクリートで施工された防波堤が、ケーソンで施工されたものに比して、災害をうけることが極めて少ないので、この二つの原因によるものと考えられる。(図-7~11 参照)

## II. 施工

### §1. 製作

セルラーブロックの製作は、ケーソンの底がないだけで、他はケーソンと全く同じである。

(製造場) dry dock の方が容易で、音調津、厚賀(節婦の分は厚賀で製作)がその例であるが、落石漁港のように slip way で施工してもケーソンに比し不安な点は少しもない。

(注水孔) 据付の時サイフォンを利用するよりも、側壁に孔を開け、それから直接注水した方が手取り早くかつ容易である。そのため吃水線から 1 m 位下で、なるべく stress の小さい箇所に  $10 \times 10 \sim 15 \times 15 \text{ cm}^2$  位の孔を相対する壁面に 1 箇所づつ設け、角材を外側からはめ込んで栓をする。

(底板) 板材は適度に乾燥させてから、合せノコをし、棟木の上にまず両端の板を打ち、中間の板はその間にはめこむようにして棟木に打つ。節は水圧で抜け出しから、無節の材料が望ましいが、最近は価格も高く、かつ入手難であるから、1 寸前後の板を二重張りとするのがよい。なお、節のある箇所にはトタンの patch を当てるだけで充分である。

### §2. 据付箇所の均し

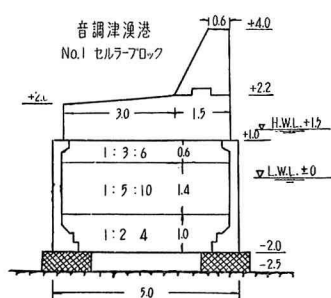
セルラーブロックの底が直接あたる部分に若干の余裕をもたせて均すだけでよい。従つて、不規則な岩盤上に施工する場合は、盤切りまたは袋均しが節減される。

### §3. 据 付

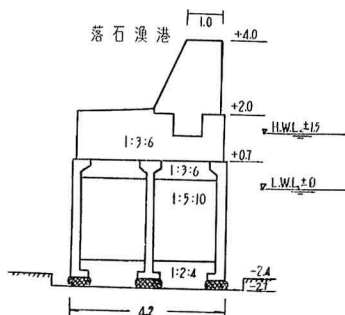
先ず所定の位置に曳航し、II, § 1 で述べた栓をはずし、注水孔から注水し沈下させる。もし多少のうねりや波でセンターを合せ難いときは、波の周期を計り、方杖の楔をはずし、一気に据付けることもできる（筆者がはじめてこれを



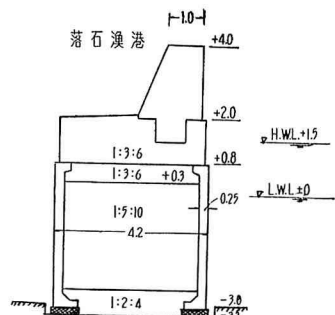
写真一2



四—7



四—8



— 9 —

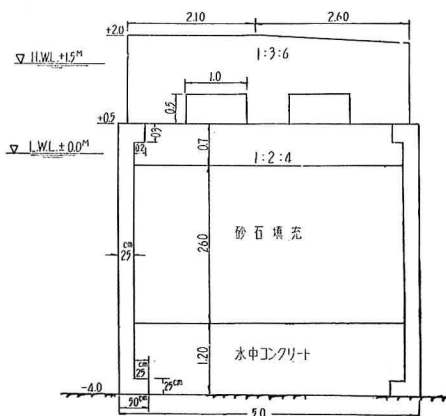


図-10 節婦漁港

### III. 防波堤としての利点と欠点

## 利 点

- 製作はケーンソンよりむしろ容易である。
  - 吃水が小さいので、曳航途中航路の水深維持費が少なくてすむ。
  - 底板を鋼製にすれば、遠方への廻航も可能である。

施工したときは、写真-2 のようにこの方法をとつた)。しかし、これは底板を傷め易く、萬一失敗すると大変であるから、前述のような特別の場合以外には推められない。また、注水中にセンターが狂い、注水を止めたいときは、孔に外側から麻袋などを貼つた板をあてがうと、水圧でそれが吸付き簡単にとまる。

§ 4. 中語

岩盤上に据付けるときは、底部はプリパクトまたは水中コンクリートとして、岩盤との一体化を計り、中間部は貧配合のコンクリートとすることが望ましい。捨石上に据付けるときは、底部には捨石と同じ材質の割石を詰め、その上に防水をし、コンクリート填充とするのがよいと考える。一般に砂石填充はなるべく避けたい。

## §5. 施工例

- This cross-section diagram illustrates the Nakashima Port (落石漁港) with the following dimensions and features:

  - Vertical Elevation:** The port has a total height of +4.0 meters above sea level.
  - Walls:** The walls are built in three sections with different slopes:
    - The top section has a slope of  $1:3:6$  from +2.0m to +4.0m.
    - The middle section has a slope of  $1:3:6$  from +0.8m to +2.0m.
    - The bottom section has a slope of  $1:5:10$  from -0.25m to +0.8m.
  - Bottom:** The port floor has a slope of  $1:2:4$  leading down to a depth of -3.0m.
  - Water Levels:** The water levels are indicated as  $H.W.L. +1.5$ ,  $L.W.L. \pm 0$ , and  $L.W.L. \pm 1.5$ .
  - Other Labels:** Internal labels include  $+2.0$ ,  $+0.8$ ,  $-0.25$ ,  $-3.0$ , and  $4.2$ .

—11

4. 据付が容易である。多少のうねり程度であれば非常手段により据付けることもできる。
  5. 特別に起重機船のような重機械を必要としない。
  6. 岩盤に密着させることができるので、岩盤と堤体との附着力により、外力に対する抵抗力が極めて大きくなるばかりでなく、浮力が妨かないこととなるので、水中構造物として最も有利な type となる

7. 捨石上に据付ける場合でも、マサツ係数を最も大きい状態とすることができます。
8. 従つて、断面を数割節減できる。

#### 欠 点

1. 施工の途中では、底板が生命であり、かつ最大の弱点でもあるので、施工は最も入念にしなければならない。
2. 長期間仮置をするときは、木製の底板は海虫のため用をなさなくなることがある。
3. 木製の底板は消耗がはなはだしい（2回使用できればよい方である。この欠点は、鋼製にすればなくなろう）。
4. 底板をはずしてからでは、据付直しは極めて困難。

**附記** この工法は1954年、国分与一郎工手（現技師）から、このような工法を昔施工したことがあると聞き、当時極めて施工困難であった音調津漁港に応用することを思い立ち、同氏の話を基にして、筆者が設計上色々と手を加えたものである。記して同氏に謝意を表する。

#### 参 考 文 献

- 1) 日本港湾協会：港湾工事設計要覧、1959年
- 2) 小池啓吉：橋梁工学、第1巻、外。
- 3) S. Timoshenko: Theory of plates and shells.
- 4) 酒井清二：矩形コンクリート槽設計計算について、土木工学、第3巻、第3, 4, 5号。
- 5) 能町・石倉：ケーソン構造物の実用的近似解法とその実験について、技術資料、第16号、昭35年2月。
- 6) 広井 勇：築港、前編。
- 7) 北海道庁：小樽築港工事報文、後編。
- 8) 永井壮七郎・外2名：混成防波堤の直立部の滑動と直立部底面に働く揚圧力について、第7回海岸工学講演集、1960年。
- 9) 曹田範宗：摩擦と潤滑、第4章。
- 10) Harvey E. White: Modern college physics, p. 83 ~91.
- 11) 物部長穂：水理学